

УДК 537.311.322

© 1991

## КИНЕТИЧЕСКИЕ ЯВЛЕНИЯ В ТВЕРДОМ РАСТВОРЕ $\text{Bi}_{2-x}\text{In}_x\text{Te}_{2.85}\text{Se}_{0.15}$

Г. Т. Алексеева, П. П. Константинов, В. А. Кутасов,  
Л. Н. Лукьянова, Т. Е. Свечникова, С. Н. Чижевская

В твердом растворе *n*-типа  $\text{Bi}_{2-x}\text{In}_x\text{Te}_{2.85}\text{Se}_{0.15}$  ( $0 < x < 0.04$ ) и  $\text{Bi}_{2-x}\text{In}_x\text{Te}_3$  ( $x = 0.06$  и  $0.12$ ) проведен анализ гальваномагнитных и термоэлектрических свойств по данным температурных зависимостей кинетических коэффициентов (компонентов тензоров удельного сопротивления  $\rho_{11}$ , термоэффициента Холла  $\rho_{ijk}$ ), измеренных в интервале температур  $77$ – $300$  К.

Показано, что характер изменения коэффициентов Холла  $\rho_{123}$  и  $\rho_{312}$  от температуры связан с различной анизотропией рассеяния электронов в плоскости спайности (0001) и в направлении  $\langle 111 \rangle$ , перпендикулярном плоскости спайности.

Обсуждаются причины резкого уменьшения подвижности носителей заряда  $\mu$  с ростом концентрации атомов In в твердом растворе (уменьшение содержания антиструктурных дефектов при замещении атомов Bi атомами In, возникновение локальных примесных состояний In). Установлена зависимость между величинами подвижности  $\mu_0$ , термоэлектрической эффективности  $Z$  и анизотропией тензора времени релаксации  $\tilde{\tau}$  в твердом растворе, согласно которой меньшей анизотропии рассеяния электронов соответствует более высокое значение  $Z$ .

Многокомпонентные твердые растворы на основе  $\text{Bi}_2\text{Te}_3$  являются перспективными низкотемпературными термоэлектрическими материалами и находят широкое практическое применение в различных преобразователях энергии, в связи с чем исследование возможности модификации их свойств по-прежнему привлекает внимание исследователей. Одним из наиболее интересных вопросов является влияние замещения атомов в различных подрешетках теллуридов висмута и сурьмы на свойства твердых растворов, которые являются основой материалов *n*- и *p*-типа проводимости соответственно. Большинство работ по материалам *n*-типа выполнено на образцах твердых растворов изоморфных соединений, обладающих полной взаимной растворимостью:  $\text{Bi}_2\text{Te}_{3-x}\text{Se}_x$ ,  $\text{Bi}_{2-x}\text{Sb}_x\text{Te}_3$ . Исследования твердых растворов на основе  $\text{Bi}_2\text{Te}_3$  с соединениями  $\text{Bi}_2\text{S}_3$ <sup>[1]</sup>,  $\text{Sb}_2\text{S}_3$ <sup>[2]</sup>,  $\text{In}_2\text{Te}_3$ <sup>[3–5]</sup>, имеющими ограниченную область растворимости, в основном касались структурных особенностей, характера химической связи, тепловых и термоэлектрических свойств. Особенности рассеяния носителей заряда в таких материалах не рассматривались, за исключением работы<sup>[6]</sup>.

В данной работе проведен комплексный анализ гальваномагнитных и термоэлектрических свойств твердых растворов  $\text{Bi}_{2-x}\text{In}_x\text{Te}_{2.85}\text{Se}_{0.15}$  ( $0 \leqslant x \leqslant 0.04$ ) и  $\text{Bi}_{2-x}\text{In}_x\text{Te}_3$  ( $x = 0.06$  и  $0.12$ ) в интервале температур  $77$ – $300$  К. В качестве легирующей добавки использовался  $\text{CdCl}_2$ .

Интерес к влиянию In на свойства твердых растворов халькогенидов висмута и сурьмы определяется возможностью исследования процессов замещения в катионной подрешетке атомов Bi атомами другой группы периодической системы, которые имеют существенно большую растворимость в  $\text{Bi}_2\text{Te}_3$ , чем такие металлы, как, например, Pb<sup>[7]</sup> или Sn<sup>[8]</sup>.<sup>1</sup>

<sup>1</sup> В системе  $\text{Bi}_{2-x}\text{In}_x\text{Te}_{3-y}\text{Se}_y$  для твердых растворов с  $y = 0.12$  и  $y = 0.3$  растворимость In составляет 5–6 ат. %<sup>[9]</sup>.

Полученные экспериментальные данные позволяют определить концентрацию носителей заряда  $n$ , которая для случая анизотропных материалов, какими являются рассматриваемые твердые растворы, имеет вид

$$n = A(r, \eta) = B/\rho_{123}, \quad (1)$$

где  $A(r, \eta)$  — Холл-фактор;  $\rho_{123}$  — компонента тензора эффекта Холла;  $B$  — параметр анизотропии, определяемый в виде

$$B = [(\rho_{11}\rho_{133}/\rho_{123}^2 + 1)\beta]^{-1}. \quad (2)$$

Здесь  $\beta$  — параметр вырождения для случая изотропного механизма рассеяния носителей заряда [1]

$$\beta(r, \eta) = (2r + 3/2)^2 F_{2r+1/2}^2(\eta)/(r + 3/2)(3r + 3/2) F_{r+1/2}(\eta) F_{3r+1/2}(\eta), \quad (3)$$

где  $\eta$  — приведенный уровень Ферми,  $F(s, \eta)$  — интеграл Ферми

$$F(s, \eta) = \int_0^\infty x^s (e^{x-\eta} + 1)^{-1} dx. \quad (4)$$

Значения  $\beta$  определялись в рамках многодолинной модели энергетического спектра как независимый варьируемый параметр при расчете компонентов тензора эффективной массы [10, 11]. Данные о параметре вырождения  $\beta$  (формула (3)) совместно с коэффициентом термоэдс  $\alpha$

$$\alpha(r, \eta) = \frac{k}{e} \frac{(r + 5/2) F_{r+3/2}(\eta)/(r + 3/2) F_{r+1/2}(\eta)}{(r + 3/2) F_{r+1/2}(\eta)} - \eta \quad (5)$$

позволили определить эффективный параметр рассеяния  $r_s$  из решения системы уравнений (3), (5) относительно  $r$  и  $\eta$ .

Как было показано в [12] для  $\text{Bi}_2\text{Te}_3$ , существует хорошее согласие между величинами концентраций носителей заряда  $n$ , полученными из измерений эффекта Холла в слабом магнитном поле с учетом эффективного параметра рассеяния и в сильном магнитном поле, где концентрация носителей определяется непосредственно из измерений эффекта Холла. Поэтому концентрационные зависимости коэффициента термоэдс  $\alpha$  в исследуемых материалах, полученные с учетом  $r_s$ , могут быть использованы для определения концентрации носителей заряда.

На рис. 1 представлены зависимости  $\alpha$  от  $n$  в твердых растворах  $\text{Bi}_2\text{Te}_{2.88}\text{Se}_{0.12}$  (кривая 1) и  $\text{Bi}_{1.94}\text{In}_{0.06}\text{Te}_3$  (кривая 2), с помощью которых были получены концентрации носителей заряда (см. таблицу). Для определения величины  $n$  в  $\text{Bi}_{2-x}\text{In}_x\text{Te}_{2.85}\text{Se}_{0.15}$  при малых значениях  $x=0.004$  и  $0.01$  использовалась кривая 1, а при  $x=0.04$  — кривая 2, так как не-

Концентрация и подвижность носителей заряда в твердых растворах на основе теллура висмута

Номер образца	$x$	Концентрация носителей заряда $n, 10^{-18} \text{ см}^{-3}$	Подвижность $\mu_0, \text{ см}^2/\text{В} \cdot \text{с}$ при $T = 77 \text{ К}$
$\text{Bi}_2\text{Te}_{3-x}\text{Se}_x$			
1	0.12	7	6900
2	0.12	10	6200
	0.9	27	1500
$\text{Bi}_{2-x}\text{In}_x\text{Te}_{2.85}\text{Se}_{0.15}$			
3	0	14	4250
4	0.004	15	2950
5	0.01	7.5	2550
6	0.04	8	980

П р и м е ч а н и е. Номера образцов в таблице совпадают с номерами кривых на рис. 4.

большие изменения  $x$  в твердом растворе не приводят к заметному изменению концентрационной зависимости  $\alpha$ . Для образца, в котором  $x=0.02$ , концентрация носителей  $n$  не была определена, так как оценки  $n$  из рис. 1 в этом случае содержат значительную ошибку. Далее при анализе твердого раствора  $\text{Bi}_{2-x}\text{In}_x\text{Te}_{2.85}\text{Se}_{0.15}$  с учетом эффективного параметра рассеяния  $r_s$  при малых количествах In использовались данные, полученные для  $\text{Bi}_2\text{Te}_{2.88}\text{Se}_{0.12}$ , а при  $x=0.04$  — данные для твердого раствора  $\text{Bi}_{1.94}\text{In}_{0.06}\text{Te}_3$ .

На рис. 2 приведены температурные зависимости коэффициента термоэдс  $\alpha$  для твердого раствора  $\text{Bi}_{2-x}\text{In}_x\text{Te}_{2.85}\text{Se}_{0.15}$ . Из сравнения экспе-

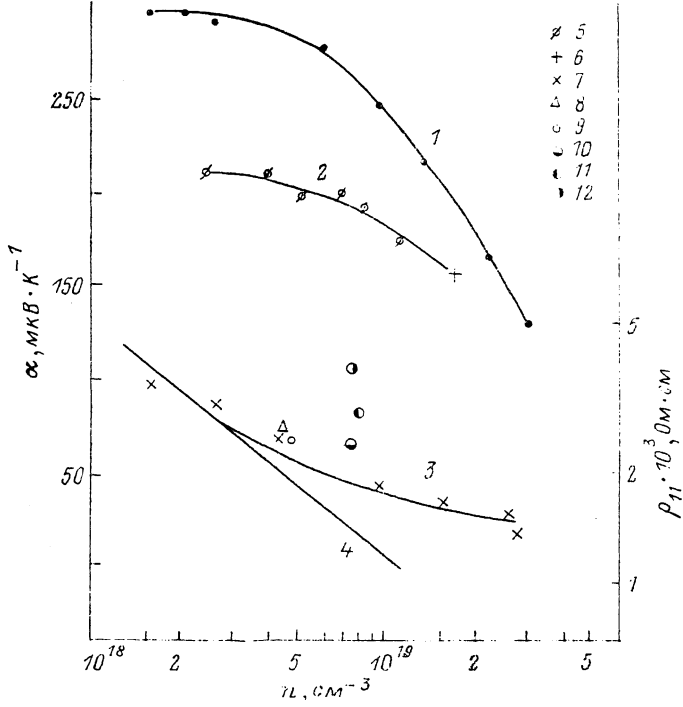


Рис. 1. Концентрационные зависимости коэффициента термоэдс  $\alpha$  в твердых растворах  $\text{Bi}_2\text{Te}_{2.88}\text{Se}_{0.12}$  (1) и  $\text{Bi}_{2-x}\text{In}_x\text{Te}_3$  (2) при  $T=300$  К и удельного сопротивления  $\rho_{11}$  в  $\text{Bi}_2\text{Te}_{2.88}\text{Se}_{0.12}$  (3) при  $T=77$  К.

Расчетная зависимость  $(\rho_{11})_p$  от  $n$  (4) построена по данным [13].  $\text{Bi}_{2-x}\text{In}_x\text{Te}_3$ :  $x=0.06$  (5), 0.12 (6);  $\text{Bi}_2\text{Te}_{2.88}\text{Se}_{0.12}$ : 1 (7);  $\text{Bi}_{2-x}\text{In}_x\text{Te}_{2.85}\text{Se}_{0.15}$ :  $x=0$  (8), 0.004 (9), 0.01 (10), 0.02 (11), 0.04 (12).

риментальных температурных зависимостей  $\alpha_s$  с расчетными  $\alpha_p$ , полученными для постоянной эффективной массы плотности состояний  $m/m_0$  и концентрации носителей заряда  $n$ , следует, что несоответствие между расчетными (кривые 5, 6) и экспериментальными зависимостями  $\alpha$  (кривые 1, 4) для твердого раствора, содержащего In, больше, чем для  $\text{Bi}_2\text{Te}_{2.85}\text{Se}_{0.15}$ , что соответствует большему изменению параметра рассеяния  $r_s$  в твердом растворе  $\text{Bi}_{2-x}\text{In}_x\text{Te}_{2.85}\text{Se}_{0.15}$  по сравнению со значениями  $r=-1/2$  для акустического механизма рассеяния. Сравнение  $\alpha_s$  и  $\alpha_p$  проводилось в образцах с близкими концентрациями носителей заряда  $n$ .

Как следует из рис. 2, добавление In в твердый раствор  $\text{Bi}_2\text{Te}_{2.85}\text{Se}_{0.15}$  приводит к изменению наклонов температурных зависимостей коэффициента термоэдс  $\alpha$ . Анализ температурных зависимостей  $\alpha$  показал, что для исследованных образцов функция  $\alpha=f(\ln T)$  не является линейной во всем в интервале 80—300 К, но может быть представлена как линейная в низкотемпературной (от 80 до 150—160 К) и в высокотемпературной областях (от 150—160 до 300 К). Характерные зависимости  $\alpha=f(\ln T)$  приведены на рис. 2 (кривые 12, 13). При этом величины  $|da/d \ln T|$

уменьшались с ростом концентрации носителей заряда  $n$  и  $x$  в твердом растворе от 1.5 до 1.2 при высоких и от 1.4 до 1.1 при низких температурах.

Наклоны температурных зависимостей электропроводности  $\sigma_{11}$ , полученные из данных по удельному сопротивлению  $\rho_{11}$  (рис. 2), также уменьшаются с ростом  $x$  (от 1.4 при  $x=0$  до 0.7 при  $x=0.04$ ) вследствие до-

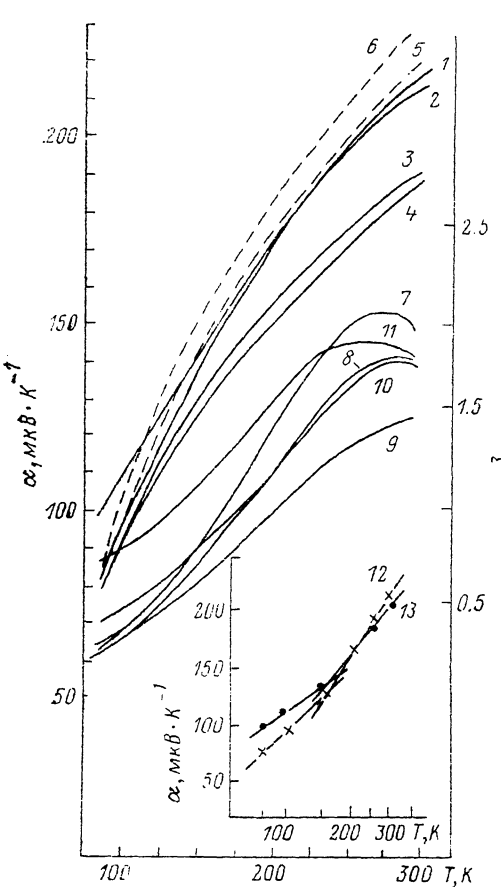


Рис. 2. Температурные зависимости коэффициента термоэдс  $\alpha$  (1—6),  $\alpha=f(\ln T)$  (12, 13) и удельного сопротивления  $\rho_{11}$  (7—11) в твердом растворе  $\text{Bi}_{2-x}\text{In}_x\text{Te}_{2.85}\text{Se}_{0.15}$ :  $x=0$  (1, 5, 7, 12), 0.004 (8), 0.01 (2, 9, 13), 0.02 (3, 10), 0.04 (4, 6, 11).

Кривые 5, 6 — расчетные температурные зависимости  $\alpha$ .

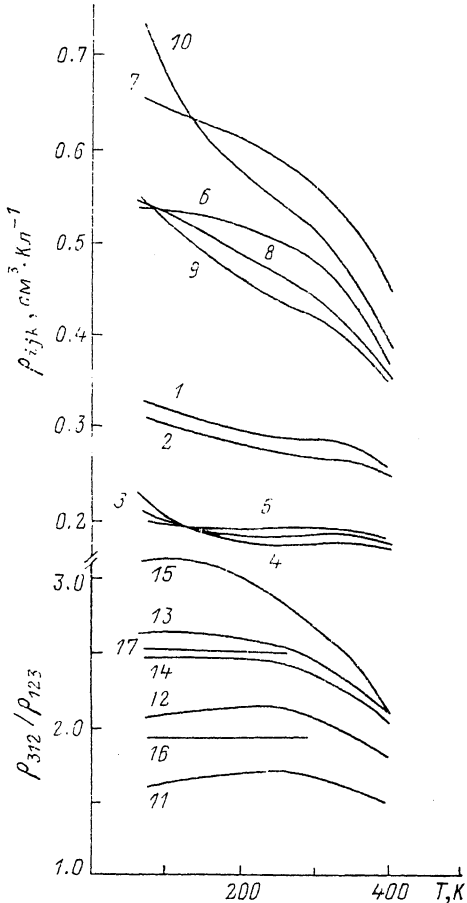


Рис. 3. Температурные зависимости коэффициентов Холла  $\rho_{123}$  (1—5),  $\rho_{312}$  (6—10) и отношений  $\rho_{312}/\rho_{123}$  (11—17) в твердом растворе  $\text{Bi}_{2-x}\text{In}_x\text{Te}_{2.85}\text{Se}_{0.15}$ :  $x: 1, 6, 11, 16 = 0; 2, 7, 12, 17 = 0.004; 3, 8, 13 = 0.01; 4, 9, 14 = 0.02; 5, 10, 15 = 0.04$ . Кривые 16, 17 — расчетные зависимости  $\rho_{312}/\rho_{123}$  от  $T$  для многодолинной модели энергетического спектра.

полнительного рассеяния на атомах In в твердом растворе, которое приводит к снижению подвижности  $\mu_0$  (см. таблицу), рассчитанной с учетом  $r$ ,

$$\mu_0 = \frac{2\sigma}{\sqrt{\pi n}} \frac{\Gamma(r+3/2) F_{1/2}(\eta)}{F_{r+1/2}(\eta)}, \quad (6)$$

где  $\Gamma(r+3/2)$  — гамма-функция в общем случае от любого нецелого аргумента.

В таблице также приведены данные для подвижности  $\mu_0$  в твердых растворах  $\text{Bi}_2\text{Te}_{2.88}\text{Se}_{0.12}$  и  $\text{Bi}_2\text{Te}_{2.1}\text{Se}_{0.9}$ , в которых проводились аналогичные исследования.

Представленная на рис. 1 зависимость  $\rho_{11}$  от концентрации носителей заряда при сравнении с расчетной зависимостью  $(\rho_{11})_p$ , построенной для

однозонной модели энергетического спектра [13], показывает, что в твердом растворе, содержащем In, отклонения расчетной зависимости ( $\rho_{11}$ ) от экспериментальных значений  $\rho_{11}$  увеличиваются с ростом  $x$  и  $n$ , что является одним из фактов, подтверждающих существование дополнительной зоны в зоне проводимости исследуемого твердого раствора.

Из температурных зависимостей компонентов тензора коэффициента Холла (рис. 3) следует, что величина  $\rho_{312}$  (кривые 6—10) уменьшается с ростом температуры. Холловский коэффициент  $\rho_{123}$  (кривые 1, 2) имеет аналогичную, но менее резкую температурную зависимость. С увеличением концентрации носителей  $n$  и  $x$  в твердом растворе температурные изменения как для  $\rho_{123}$ , так и для  $\rho_{312}(T)$  ослабевают. Характер изменения  $\rho_{ijk}(T)$  не может быть объяснен влиянием вырождения при низких температурах и собственной проводимости при температурах, близких к комнатной, так как эти эффекты малы. Объяснение вида зависимости  $\rho_{ijk}(T)$  в твердых растворах на основе  $\text{Bi}_2\text{Te}_3$  может быть получено в модели, рассматривающей время релаксации  $\tau$  в виде тензора, когда изменение  $\rho_{ijk}$  от  $T$  связывают с изменением компонентов тензора времени релаксации  $\tau_{ij}$ , как было показано для  $\text{Bi}_2\text{Te}_3$  в работе [14].

Исследования механизмов рассеяния носителей заряда в  $\text{Bi}_2\text{Te}_3$  [14] и в твердых растворах  $\text{Bi}_{2-x}\text{Se}_x$  и  $\text{Bi}_{2-x}\text{In}_x\text{Te}_3$  [6] показали, что анизотропия рассеяния электронов в плоскости спайности (0001) меньше, чем в перпендикулярном направлении  $\langle 111 \rangle$ . С различной анизотропией рассеяния электронов в плоскости (0001) и в направлении  $\langle 111 \rangle$  можно связать изменения крутизны температурных зависимостей величин  $\rho_{123}$  и  $\rho_{312}$  (рис. 3). Так, коэффициент Холла  $\rho_{123}$ , измеряемый параллельно плоскости спайности, имеет более слабую зависимость  $\rho_{123}=f(T)$  по сравнению с величиной  $\rho_{312}$ , измеряемой в направлении, перпендикулярном плоскости спайности (0001).

Кроме того, в образцах с близкими концентрациями носителей заряда (см. таблицу) коэффициент  $\rho_{312}$  при  $x=0.04$  (рис. 3, кривая 10) имеет более резкую температурную зависимость, чем при  $x=0.04$  (рис. 3, кривая 8). При этом более резкой температурной зависимости коэффициента  $\rho_{312}$  соответствует большая анизотропия рассеяния электронов, поскольку анизотропия  $\tilde{\tau}$  возрастает с ростом  $x$  в твердом растворе [6].

На рис. 3 приведены экспериментальные и расчетные температурные зависимости анизотропии коэффициентов Холла  $\rho_{312}/\rho_{123}$  (кривые 11—17). Расчетные отношения  $\rho_{312}/\rho_{123}$  (кривые 16, 17) получены на основе многодолинной модели энергетического спектра [10] с помощью параметров ( $u$ ,  $v$ ,  $w$ ), определяющих форму поверхности постоянной энергии и не зависящих от вида  $\tilde{\tau}$ .

$$\rho_{312}/\rho_{123} = (w + uv) \frac{1+u}{4uv}. \quad (7)$$

Отклонения расчетных величин  $\rho_{312}/\rho_{123}$  от экспериментальных возрастают с увеличением  $x$  в твердом растворе  $\text{Bi}_{2-x}\text{In}_x\text{Te}_{2.85}\text{Se}_{0.15}$  вследствие увеличения анизотропии поверхности постоянной энергии при замещении атомов Bi на атомы In. С ростом температуры отношения  $\rho_{312}/\rho_{123}$  слабо уменьшаются, что связано с температурной зависимостью параметров поверхности постоянной энергии.

Установленные в работе [6] зависимости анизотропии времени релаксации от величины  $x$  и концентрации носителей  $n$  в твердом растворе могут быть также привлечены для анализа температурных зависимостей термоэлектрической эффективности  $Z$

$$Z \sim (m/m_0)^{3/2} \mu_0/x_p, \quad (8)$$

где  $m$  — эффективная масса плотности состояний,  $m_0$  — масса свободного электрона,  $x_p$  — теплопроводность кристаллической решетки

$$x_p = x - x_b, \quad (9)$$

$\chi$  — экспериментально измеренная теплопроводность;  $\chi_s$  — электронная теплопроводность, рассчитанная по закону Видемана—Франца с учетом эффективного параметра рассеяния  $r_s$

$$\chi_s = L \sigma T, \quad (10)$$

$L$  — число Лоренца, определенное с учетом эффективного параметра рассеяния  $r_s$

$$L(r, \tau_1) = (k/e)^2 \left[ \frac{(r+7/2) F_{r+7/2}(\eta)}{(r+3/2) F_{r+3/2}(\eta)} - \frac{(r+5/2) F_{r+5/2}(\eta)}{(r+3/2) F_{r+3/2}(\eta)} \right]. \quad (11)$$

Как видно из таблицы, в образцах с In наблюдается существенное уменьшение подвижности  $\mu_0$  уже при  $x=0.004$ , при дальнейшем росте  $x$  величина  $\mu_0$  продолжает уменьшаться, и при  $x=0.04$   $\mu_0$  оказывается

меньше, чем в образцах  $\text{Bi}_2\text{Te}_{2.1}\text{Se}_{0.9}$ , где концентрация атомов Se более чем на порядок выше концентрации атомов In.

Такое аномально сильное влияние атомов In на уменьшение подвижности  $\mu_0$

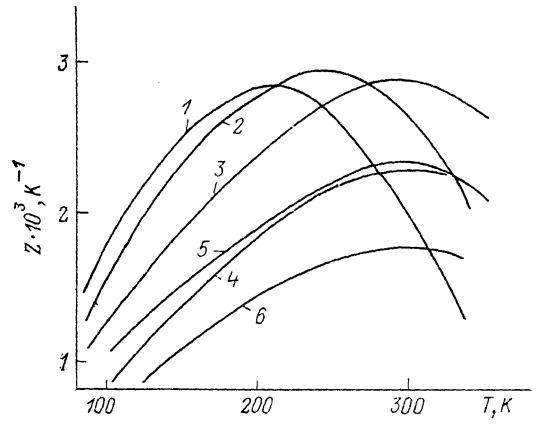


Рис. 4. Температурные зависимости термоэлектрической эффективности  $Z$  в твердых растворах  $\text{Bi}_2\text{Te}_{2.88}\text{Se}_{0.12}$  (1, 2) и  $\text{Bi}_{2-x}\text{In}_x\text{Te}_{2.85}\text{Se}_{0.15}$  (3–6).

x: 3 — 0, 4 — 0.004, 5 — 0.01, 6 — 0.04.

может быть связано с различным содержанием антиструктурных дефектов в твердых растворах. В соответствии с работой [4] вероятность образования антиструктурных дефектов в твердом растворе  $\text{Bi}_{2-x}\text{In}_x\text{Te}_3$  определяется степенью полярности связей между атомами и уменьшается при замещении  $\text{In} \rightarrow \text{Bi}$ . Как показали квантовохимические расчеты Хорака [4], введение атомов In в  $\text{Bi}_2\text{Te}_3$  вызывает смещение электронной плотности в квинтете  $\text{Te}^{(1)}-\text{Bi}-\text{Te}^{(2)}-\text{Bi}-\text{Te}^{(1)}$  к атомам  $\text{Te}^{(1)}$  и  $\text{Te}^{(2)}$ , что можно рассматривать как увеличение доли ионной составляющей связей  $\text{Bi}-\text{Te}^{(1)}$  и  $\text{Bi}-\text{Te}^{(2)}$ , при этом подвижность  $\mu_0$  уменьшается. Значительное уменьшение подвижности может также свидетельствовать о наличии локальных примесных состояний In в исследуемых материалах.<sup>2</sup>

С существованием локальных состояний In можно связать изменения в концентрационных зависимостях коэффициента термоэдс  $\alpha$  твердых растворов  $\text{Bi}_2\text{Te}_{3-x}\text{Se}_x$  и  $\text{Bi}_{2-x}\text{In}_x\text{Te}_3$ , а именно уменьшение  $\alpha$  в  $\text{Bi}_{2-x}\text{In}_x\text{Te}_3$  по сравнению с  $\text{Bi}_2\text{Te}_{3-x}\text{Se}_x$  при равных концентрациях носителей заряда (рис. 1, кривые 1, 2).

Следует отметить также, что уменьшение подвижности  $\mu_0$  при наличии In в твердом растворе коррелирует с изменением анизотропии тензора времени релаксации  $\tilde{\tau}$  для образцов  $\text{Bi}_2\text{Te}_{3-x}\text{Se}_x$  и  $\text{Bi}_{2-x}\text{In}_x\text{Te}_3$  (с близкими концентрациями In и Se), в которых отношения  $\tau_{22}/\tau_{11}$  составляют 1.7–2.0 и 0.05 соответственно [6].

Изменения теплопроводности образцов  $\text{Bi}_{2-x}\text{In}_x\text{Te}_{2.85}\text{Se}_{0.15}$  показали, что величина теплопроводности кристаллической решетки  $\chi_p$  при  $x=0.04$  отличается приблизительно на 20 % от состава с  $x=0$ , что согласуется с результатами [9], полученными на прессованных образцах, и данными [5] по влиянию In на увеличение дополнительного теплового сопротивления нелегированного  $\text{Bi}_2\text{Te}_3$ .

<sup>2</sup> Возможность существования локальных состояний или примесной зоны в твердом растворе  $\text{Bi}_{2-x}\text{In}_x\text{Te}_3$  была установлена в работе [15] из исследований проводимости и эффекта Холла под давлением.

Таким образом, одним из факторов, определяющих поведение термоэлектрической эффективности  $Z$  в области примесной проводимости в твердых растворах на основе  $\text{Bi}_2\text{Ti}_3$ , является уменьшение подвижности и ослабление ее роста при низких температурах по мере увеличения концентрации In. Кроме того, между величиной  $Z$  (рис. 4) и анизотропией времени релаксации ( $\tau_{22}/\tau_{11})^{1/6}$ ) существует корреляционная связь, согласно которой значения  $Z$  выше в твердых растворах с меньшей анизотропией  $\tilde{\tau}$ . Представленные на рис. 4 температурные зависимости термоэлектрической эффективности  $Z$  показывают, что величина  $Z$  уменьшается почти в 2 раза в твердом растворе, содержащем In (кривые 4, 5), при значительном уменьшении подвижности (см. таблицу) и увеличении анизотропии  $\tilde{\tau}$ .

### Список литературы

- [1] Goldsmid H. J. // J. Appl. Phys. 1961. Suppl. to V. 32. P. 2198—2202.
- [2] Гуриева Е. А., Заславский А. И., Кутасов В. А., Смирнов И. А. // ФТТ. 1965. Т. 7. № 4. С. 1221—1227.
- [3] Rosenberg A. J., Strauss A. J. // J. Phys. Chem. Sol. 1961. V. 19. N 1/2. P. 105—116.
- [4] Rancir J., Horak J., Stary Z. // Phys. Stat. Sol. 1987. V. 103. N 2. P. 517—526.
- [5] Гуриева Е. А., Кутасов В. А., Смирнов И. А. // ФТТ. 1964. Т. 6. № 8. С. 2453—2456.
- [6] Кутасов В. А., Лукьянова Л. Н. // ФТТ. 1990. Т. 32. № 2. С. 488—492.
- [7] Sussmann H., Priemuth A., Prohl. U. // Phys. Stat. Sol. A. 1984. V. 82. N 2. P. 561—567.
- [8] Matyas M., Zavetova M., Horak J., Lostak P. // Proc. of the Narrow Gap. Semicond. IV Conf., Linz, Austria, 1981. P. 405—409.
- [9] Абрикосов Н. Х., Макареева Е. Г. // Изв. АН СССР, неорг. материалы. 1974. Т. 10. № 7. С. 1204—1209.
- [10] Caywood L. P., Miller G. R. // Phys. Rev. B. 1970. N 2. P. 3210—3220.
- [11] Кутасов В. А., Лукьянкова Л. Н. // ФТТ. 1982. Т. 24. № 2. С. 402—405.
- [12] Кутасов В. А., Лукьянкова Л. Н. // ФТП. 1989. Т. 23. № 4. С. 652—656.
- [13] Asworth H. A., Rayne J. A. // Phys. Rev. B. 1971. 3. N 8. P. 2646—2661.
- [14] Ефимова Б. А., Коренблит И. Я., Новиков В. И., Остроумов А. Г. // ФТТ. 1962. Т. 4. № 1. С. 302—304.
- [15] Азбу С. А., Кульбачинский В. А., Миронова Г. А., Скипидаров С. Я. // ФТП. 1990. Т. 24. № 2. С. 283—286.

«Физико-технический институт  
им. А. Ф. Иоффе РАН  
Санкт-Петербург

Поступило в Редакцию  
2 июля 1991 г.